

地下地球物理論文集

苏联 B·H·达哈諾夫等著

石油工業出版社

內容提要

本集所載為有關應用各種新的地球物理方法探測油氣井剖面的四篇論著。這些論著都是莫斯科石油學院地下地球教研室人員在B. H. 达哈諾夫教授指導下完成的。第一篇論述如何根據地下地球物理資料來研究油田內油瀝性質和生產層含油飽和率的問題。第二篇為人工電位測井法，詳細地介紹人工激起電位差的理化原理，探測井剖面的方法，結果的解釋和應用儀器等。第三篇為如何利用屏蔽接地電阻測井法，測出易於被一般電測所漏失掉的含油可能性最大的薄層砂層和粘土層的交互層。第四篇為井溫微差測定法，則為在記錄井內差熱曲線時，如何自動地消除地熱場的影響，並確切地記錄出地溫在局部熱場內傳佈的變化。

本集除供現場測井工作人員參考外，還可作為一般設有地球物理勘探課程各專業學院的補充教材。

因內容方面包括許多新的理論和方法，除譯者在翻譯過程中曾得到李澤鴻同志的不少幫助外，並曾由石油學院王曰才教授校閱過。

B. H. ДАХНОВ, B. H. КОБРАНОВА,

M. Г. ЛАТЫШОВА и В. А. РЯПОЛОВА

ПРОМЫСЛОВАЯ ГЕОФИЗИКА

СБОРНИК СТАТЕЙ

根據蘇聯國立石油燃料科技書籍出版社(ГОСТОПТЕХИЗДАТ)

1952年列寧格勒版翻譯

統一書號：13037·8

地下地球物理論文集

(全蘇石油工作者科技工程学会合刊之二)

陳鳳祿譯 王曰才審

石油工業出版社出版 (地址：北京六鋪黃石油工業部小號)

北京市書刊出版業營業登記字第083號

北京市印刷一廠排印 新華書店發行

787×1092^{1/2}開本 * 印張5^{1/2} * 99千字 * 印1—6,100冊

1956年7月北京第1版第1次印刷

定价(10)0.90元

近几年來，地下地球物理在各種探測方法綜合應用的基礎上，成為一種不取岩心研究鑽井剖面有效的方法。地下地球物理方法之所以認為有完全適用的可能性，就是因為它不僅能夠將井所鑽穿的地層分成一些主要類型的岩層，並對於鑽井剖面上有生產價值的岩層給出質量上的評價，而且也能對岩層孔隙率，滲透率，含油飽和率，含氣飽和率以及含碳量等作出數量上的測定。十几年前，以И.М.古勃金院士命名的莫斯科石油學院地球物理教學研究室根據岩層電阻率數值並綜合所具其他地球物理特徵制定出測定岩層孔隙率，孔隙空間含油飽和率的各種方法，以及對於儲油層可能含油率評定的準則，而這些方法及準則逐年俱增地在石油工業中得到了日益廣泛的應用。在測定孔隙率，含油飽和率以及在利用這些數據計算石油的地質儲量的許多工作中，都曾確認所提出的這些方法是具有很大的效果，而仔細地研究岩心的物理性質，就能將所得結果和地下地球物理探測方法之間的依賴關係，應用到不同類型的儲油層中去。

但目前探測鑽井剖面的地球物理方法，對於解決以上所列舉的一些問題，在有一些地區還不能給出足夠完全的資料。在這些地區，根據地下地球物理資料，有時不能確切地測定油藏的性質和鑽井剖面上生產層的含油飽和度，因而也不能查明這樣一些生產層，有時甚至連按岩層主要

类型把鑽井剖面上岩層加以正确地划分也办不到。

为了在解决有关生產層的揭露以及生產層的油瀦性質和含油飽和率的研究這些問題上，給予石油工業以最大的協助起見，莫斯科石油学院地下地球物理教研室在最近几年应用實驗室的方法所進行的工作中，進一步地研究出岩層的物理性質依於這些岩層的岩石性質，油瀦性質以及含油性能之間的依賴关系，並且由於制定出測量鑽井剖面的一些新的方法，因此促進地下地球物理這些主要問題的解決——得到不取岩心的鑽井剖面。这一本論文集就是對於這些工作以及所得種種結果的敘述。

關於編寫这几篇論文所用的材料的收集整理工作，除本書作者而外，還有不少數學研究室科學工作人員，H. A. 謝普爾、H. A. 奧爾濟維、E. M. 梅羅伊尼柯以及沉積岩岩石學教研室 B. П. 弗洛林斯基副教授，科學工作人員 B. C. 克尼亞澤夫和 A. H. 洛納柯夫。在研究工作進行中並獲得工業部門工作人員，H. M. 卡爾平柯、M. Г. 涅斯捷林柯、P. Ю. 列彼申斯基、Ю. А. 巴索烏夫、B. И. 溫捷里什捷莫夫和 D. A. 夏皮諾等相當大的幫助，作者們特向上述諸位同志表示感謝。

目 錄

序 言

第一篇 根據地下地球物理資料研究油田內油層的性質和生產層的含油飽和率
B. A. 达哈諾夫, B. H. 柯布蘭諾娃	
緒論	5
§1. 岩層岩性的確定	8
§2. 岩層孔隙率的測定	11
§3. 岩層含油飽和率的測定	46
§4. 岩層滲透率的測定	52
結論	54
參考文獻	55
第二篇 应用人工電位法測井 (電解測井)	58
B. H. 达哈諾夫, M. Г. 拉迪諾娃, B. A. 利雅波諾娃	60
§1. 以研究岩層中人工電位為基礎的地球物理測井法的發展簡史	60
§2. 關於人工電位物理-化學性質的一些知識	64
1. 在帶有電子導電性和岩層礦物分界面上進行的電化學過程	65
2. 在有離子導電性的岩層內進行的電化學過程	69
3. 對於含有帶電子導電性的礦物顆粒、並具有離子傳導性的岩層所特有的電化學過程	73
§3. 应用人工電位法探測鑽井剖面	74
§4. 對於岩石和礦物試樣進行人工電位研究的結果	84
1. 具有電子導電性的岩石和礦物	84

2. 碎屑岩層	87
3. 黃鐵礦化和碳質岩層	90
§5. 电解測井生產性試驗的種種結果以及电解測井勘 探油田和煤田中的應用範圍	91
參考文獻	103
第三篇 屏障接地電阻法 (C33)	
..... B. H. 达哈諾夫, B. A. 梁坡洛娃	
緒論	105
§1. 屏障接地電阻法 (C33)理論上的一些問題	110
§2. 在井內進行屏障接地電阻探測的方法	124
§3. 勘測進行的結果	128
參考文獻	134
第四篇 井溫微差測定法 (微差熱測井)	
..... B. H. 达哈諾夫, B. A. 利雅波諾娃	
緒論	135
§1. 微差熱測法原理	141
§2. 微差熱測井在井內進行的探測方法	164
§3. 在井內應用井溫微差測定法所能解決的一些問題 以及工作進行一些實例	168
參考文獻	175

第一篇 根據地下地球物理資料研究 油田內油瀦的性質和生產層 的含油飽和率

B. H. 达哈諾夫
B. H. 柯布蘭諾娃

緒論

為了切實有效地開發油田，就要通曉開採對象產狀和
構造上所具的特徵，油瀦的性質以及含油飽和率。有了這些
資料，我們才能正確地制定地質部分的開採設計，並且使
這種設計能够在石油工業中更為合理地實現。

直到最近，地質勘探部門還沒有辦法在井內直接進行
油瀦性質和岩層含油飽和率的量測，仍旧是利用在鑽井過程
中從所探測的岩層剖面部分採取岩心進行量測的方法，
來確定岩層孔隙率，滲透率，含油飽和率（封存水的數
量）以及岩石顆粒的粗細程度。

但是這樣的分析，並不能給出岩層油瀦性質詳盡無遺
的資料。

第一，由於岩樣物理性質的分析和岩樣的採取，費用
都相當大，因而採取岩樣的數量是有所限制，所以研究過
的這些岩樣並不能把所要探查的對象所具特徵完全表示出
來。

第二，因為在油瀨方面，我們最想知道的是岩層有疏
松的差別（像細砂岩），往往由於岩心鑽頭的不夠完善，不
能將這樣的松碎岩樣取到地面，這樣就留下一些沒有能

進行研究的岩樣。岩心採取率很少超過 50%，從鑽井每一間隔採得的岩心多半為 20—40%。

第三，由於在實驗室內進行岩樣分析時，對於含油飽和率和水的礦化作用這兩者之間產生了錯誤的概念。這種錯誤概念之所以產生，是由於泥漿在溫度和壓力改變下侵入岩石孔隙，填充孔隙空間氣液混合物的成分發生變化的緣故。

第四，由於在採取岩心時改變了岩石結構，因而得出不正確的岩層油層性質的概念。

譬如以从露頭上和淺井內所採岩樣進行分析作為研究岩層的根據，也會對岩層得到不夠明晰的概念，因為生產層的岩層性質常是隨着地區不同而變的，而對於所進行探查的油田，和從淺井露頭採取岩樣所表現的岩石性質，可能有很大的差別的。

八、研究鑽井地質剖面的地球物理方法，近幾年來在探礦工業中獲得普遍的採用。研究井內的電阻率，自然電位差，放射性，熱場以及岩石的抗壓性成為辨認油田地質鑑定和一些個別油層性質確實可靠的方法，而被廣泛應用到實際工作中去。

由於一方面岩層所具的種種物理性質——電導，放射性，熱能，磁性，機械力能；另一方面岩層的含油飽和率，含氣飽和率，含鹽量，孔隙率，滲透率以及其他一些岩石性質，這些物理性質相互之間數量上關係的變動，可以斷言：對於鑽井地質剖面的詳細研究，特別是對於確定岩層油層性質以及對於有用礦物（石油、天然氣等）礦藏可採储量的評價，地球物理測井法是有可能得到

更为广泛的利用。

在井内量得的岩石物理参数数据以及所量得的这些数据和我們所要探查的岩層儲油性質，有用礦產含量之間數量上的依賴关系，就是用以解决上述这样一些問題的原始資料。這時請了許多不同的方法來解決這個問題。我們數次应当指出，由於运用綜合地球物理方法對於岩層的固有物理性質進行探測，像岩層的孔隙率，就能根据井內量得的各种不同物理性質來評定，这样就大大提高應用某些地球物理法測定所要探查岩層套數的准确度。

必須注意到这一点，就是岩層的物理性質和所測定的岩石性質之間数量上的关系，并不总是規定的很嚴格。特別是有些个别岩样，由於在構造和結構上發生局部变化，便不受推測出一定規律的支配而和所求得的数量关系有很尋的偏差。但是這些偏差，對於範圍很大的岩層应用一些地球物理測井法進行岩層物理性質的量測，是沒有什麼实际作用的。

在这些井內量得的参数当中，研究得最清楚的要算岩層的受限率和電化學活動性^①。對於許多岩層來說，這些參數數值依於岩粒不均匀的程度、孔隙率、滲透率以及含油飽和率之間的依賴关系，現在都已經確定出來，这就可以根據電測資料求得上述這些岩石性質的數値。關於這些依賴关系及其利用這些关系給出可能求得的上述岩石性質，均在本章內細細闡述。

^① 岩層的電化學活動性，應理解為天然帶列情況下的岩石被認為地殼充滿油的井身所交切而產生電場的性質。

§ 1. 岩層岩性的確定

根據岩層物理性質的測定，便能確定出岩層的岩性。這是以地球物理測井結果和被井鑽穿岩層顯示出岩性特徵進行多次對比的數據，以及岩層物理性質和岩石性質實驗室研究比較的材料作為基礎來確定的。在地球物理測井各種不同形式的曲線圖上明晰地分划出來的岩層種類，就是用這樣一些對比方法確定出來的[1,5,6,7]。

例如粘土層在視電阻率曲線圖上，是以低電阻率表示，數值變動於1—10歐姆·公尺範圍以內，只是在大陸性的粘土沉積內的電阻率才能達到20—30歐姆·公尺。

粘土層的電阻率，和其他岩層一樣，是隨着岩層濕度（孔隙率）的減低和在飽和有水的岩層內鹽分濃度的減小而增加。但也隨着粘土顆粒不均勻程度的減小，就是隨着孔隙率的減低以及在岩層內砂質和碳酸質膠結物含量的增加而增加。

當泥漿比地層水還要淡時（像在實際工作中所常用的泥漿一樣）在自然電位曲線圖上對着粘土層處，便會發現自然電位曲線的正異常是隨着粘土層的分散度和密度的增大而增加。

粘土層在伽瑪射線測井曲線圖上，表示為伽瑪射線強度的增加，數值是隨着粘土的含量，特別是隨着膠體物質和有機物質含量的增加而增加的。高的放射性表示出在介質還原條件下形成的作為一般生油層系的粘土沉積[6]。而在中子測井曲線圖上對着粘土層處，則發現有二次伽瑪射線強度的減小。粘土層的孔隙越多，分散度越大，則二次

伽瑪射綫強度的減小也就格外顯著。

泥漿溫度高於岩層溫度時，粘土層在溫度曲綫圖上，一般是表示為溫度正異常，這就說明粘土層的熱阻高並在鑽井時井壁易於塌陷。

砂層的電阻率，從歐姆·公尺的幾分之几（被強烈礦化水飽和的砂層）變動到好幾個歐姆·公尺。如用礦化作用弱的泥漿進行鑽井，在砂層中用短電極系測量視電阻率，便能發現由於泥漿侵入岩層而引起電阻率表示增加的特徵。含氣和含油砂層的電阻率大於同一區域內的含水砂層的電阻率。砂層電阻率是隨着溶於地層水中鹽分濃度的減小以及砂層膠結作用的增大而增加，因之隨着砂層孔隙率的減小和孔隙空間油、氣飽和率的加大而增加。

如用淡泥漿鑽井，層列在粘土層中的砂層，在自然電位曲綫圖上，是以自然電位的負異常表示出來。而對於被粘土質岩層所包圍着的砂層來說，砂層的孔隙越多，分散度越小，顆粒不均勻的程度越大，則自然電位異常的幅度也就越大。通常，含油和含氣岩層的自然電位異常，是要比同一區域內含水岩層的自然電位異常小[5,6]。

在伽瑪射綫測井和中子測井曲綫圖上，砂層是根據一次和二次伽瑪射綫強度的減低辨認出來的。射綫強度隨着砂層和砂岩層孔隙率的減小和膠結作用的減弱而增強。在溫度曲綫圖上，砂層是以負異常表示，在對着含氣的砂質油瀨，負異常的幅度特別增大。

碳酸質岩層——石灰岩層和白云岩層——一般都具有很高的電阻率，其數值達到幾千甚至幾萬歐姆·公尺。碳酸質沉積岩層的電阻率和它的孔隙率成反比，並隨着孔隙

率的減小而急劇地增高。在自然電位曲線圖上，對着在粘土層中的碳酸質沉積岩層處，可能發現有負異常，這種負異常的幅度，像在莫斯科石油學院岩石物理性質實驗室的實驗資料中最初所確定出的一樣，隨着碳酸質岩層孔隙率的增加和膠結作用的減弱而增大。如粘土物料在碳酸質岩層中所佔的數量不大，便能發現整個沉積組合岩層的自然電位的最大負電位。在致密的石灰岩層內，自然電位曲線所表現顯著的異常，是由於碳酸鹽類岩層有負的擴散——吸附活動性的緣故〔图2、10〕。在伽瑪射線測井曲線圖上，在伽瑪射線測井曲線圖上，碳酸質岩層是以伽瑪射線強度低的數值表示的，而在中子曲線圖上，碳酸質岩層則是以岩層中所含水份愈少，二次伽瑪射線強度就愈大辨認出來。中子和伽瑪射線測井曲線圖能可靠地把致密的碳酸質岩層从孔隙較大或石油所浸潤的碳酸質岩層劃分出來。碳酸質岩層在鑽速曲線圖上也能明顯地加以劃分，因為鑽速曲線上能表現出由於石灰岩和白云岩的硬度大而引起鑽進時間顯著的延長。

在各種不同物理參數的曲線圖上，有不少特性可表示出其他一些岩層。例如，水化學沉積岩層就可由電阻率非常大，以及在極大多數情況下，在自然伽瑪射線強度減弱的同時或二次伽瑪射線強度的增強這些特性來確定。在煤層中表現有自然電位的正異常和特別大的肉工腐化電位。

根據地下地質物理資料研究岩層的一些基本特性和方法

① 由於所含鉀的放射性同位素 $K-40$ 含量較高而引起的強度較大的自然伽瑪射線上辨認出來，這是由於最近在探測中所發現的一種例外

法上已經足夠完全，雖說這裏面還有許多問題需要加以補充研究，但這篇論文是關於應用各種地球物理方法研究岩層的油滲性質和含油率，所以這些補充研究不在論題範圍以內。

§ 2. 岩層孔隙率的測定

測定岩層孔隙率的方法很多，但最簡單的當數電阻率法。

根據在井內量測的岩層物理性質數據來確定岩層孔隙率對於極大多數情況來說，是最簡單而正確解決的問題也是很精確的。第一，由於孔隙水、石油、天然氣以及構成岩石骨架的礦物，在物理性質上都有很大的相似性；第二，由於屬於不均勻介質的（岩石）的物理性質是由不均勻物理性質介質組成的元素體積含量有關。因此，利用電阻率測定由於上述情況，所以電阻率和電化學活動性質（熱阻、伽瑪射線強度）、中子效應以及其他一些參數，就都要取決於岩層的孔隙率，這就有可能從這些參數中求得岩層孔隙率的數值。研究得最清楚的就是岩層電阻率和岩層孔隙率之間的關係。

根據很多理論上和實驗上的研究，確定出岩層的電阻率數值，主要是由下列各項來決定：

- (1) 岩層體積溫度 θ ；
- (2) 岩層孔隙內所含液體的電阻率 ρ ；
- (3) 指標的礦物和結構，除了固有孔隙率外，礦物組分對岩層的電阻率數值所起的作用不大，所以當研究極本多數沉積岩層電阻率時，可以不考慮它的礦物組分。

由於上述情況，沉積岩層的電阻率數值，則由下列各

系式表示：

$$\rho_v = B_g P_w^t \rho_0, \quad (1)$$

式中 P_w^t ——對於理想的岩石(顆粒形狀正規顆粒大小相等的一塊岩石)確定岩層電阻率依於體積溫度而改變的關係函數；

B_g ——岩層構造和結構對於電阻率數值發生作用的系數[3]。

函數 P_w^t 為另外兩個函數 P_w^t 和 P_q 的乘積，這裏面函數 P_w^t 是和岩層的孔隙率有關，而函數 P_q 是和岩層孔隙空間的含水飽和率有關。

由公式(1)，可以得出下列的結論，就是當解釋觀電阻率曲線圖時，必須要經常注意到岩層電阻率是和岩層孔隙空間所飽含液体的電阻率 ρ_0 成正比，如在理論上抽象地對於電測圖進行解釋，對於這種情況估計不足，往往會對於油漬的含油和含水作出不正確的結論。

只有在了解岩層所含液体電阻率的情況下，才能正確地估計出岩層的孔隙率和在下面將要談到的岩層含油情況。

和 $B_g P_w^t$ 相等的比值 ρ_v/ρ_0 ，則為岩層所具構造特性和結構特性的函數，並且也是岩層孔隙空間含水飽和率的函數。

岩層電阻率和岩層孔隙率之間關係上所表現的特徵，是假定岩層孔隙完全為含水所飽和是從理論上和實驗上研究出來的。如圖1所示一些曲線就是從某些研究中得出的結果。

在確定上述關係方面，對於理論上的研究，不輒過於

詳述，只是對於假定岩層孔隙空間完全被水所充滿($P_g = 1$)構造均勻的岩層來提一下，有很多的研究工作者根據所採用不同的岩層模型，得出各種不同公式來確定岩層的電阻率(ρ_v)對岩層孔隙內所充滿水的電阻率 ρ_0 的比值(P_v)依於孔隙率(k_v)而變動的關係。

這些公式具有下列形式[1, 6]：

$$P_v^t = \frac{\rho_v}{\rho_0} = \frac{3 - k_v}{2k_v} \quad (2)$$

(馬克斯維爾，圖 1，曲線 5)；

$$P_v' = \frac{\rho_v}{\rho_0} = \frac{3}{2k_v}; \quad (3)$$

$$P_v^t = \frac{\rho_v}{\rho_0} = \frac{3}{k_v} \quad (4)$$

(宗德別爾格，圖 1，曲線 6)；

$$P_v^t = \frac{1}{1 - \sqrt[3]{(1 - k_v)^2}}; \quad (5)$$

$$P_v' = \frac{1 + 0.5\sqrt[3]{1 - k_v}}{1 - \sqrt[3]{(1 - k_v)^2}}; \quad (6)$$

$$P_v^t = \frac{1 + 0.25\sqrt[3]{1 - k_v}}{1 - \sqrt[3]{(1 - k_v)^2}}; \quad (7)$$

(達哈諾夫，圖 1，曲線 7 和 8)；

$$P_v^t = \frac{\rho_v}{\rho_0} = \frac{4.25}{k_v}; \quad (8)$$

(塔爾霍夫[11]，圖 1，曲線 9)。

如果我們將如圖 1 所示實驗室研究結果的曲線和理論

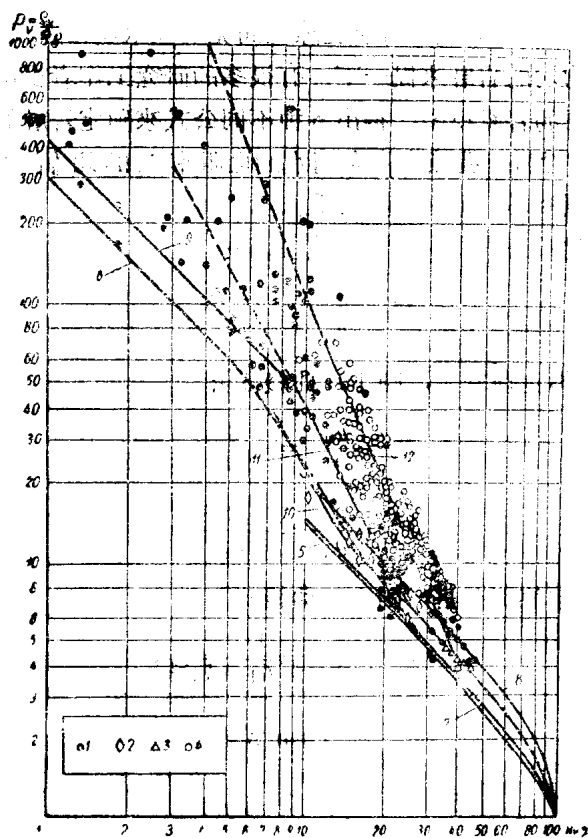


圖 1 根據原有的一些實驗上和理論上數據得出岩層相對電阻率
 $(P_r = \frac{\rho_r}{\rho_0})$ 依岩層孔隙率 ($\phi_r \%$) 而變動的關係曲線

1—莫斯科石油學院(МНИ)岩層物理性質實驗室對於砂層、細砂岩層、粘土層以及石灰岩層的實驗數據；2—阿塞拜疆石油研究所(АзНИИ)對於阿塞拜疆半島油田砂層的實驗數據；3—格羅茲尼中央石油研究所地球物理實驗室(ЦНИГЛ Грознефт)對於砂岩層的實驗數據(Г. С. 馬羅佐夫)；4—對於砂岩層和石灰岩產油層的實驗數據(根據資料檔案(Arc档))；5—對於球形顆粒的理論曲線(馬克耶維爾)；6—對於珠形顆粒的理論曲線(宗德別爾格)；7和8—對於立方形顆粒在圓錐不圓葉網下壓製的理論曲線(В. Г. 达哈諾夫)；9—對於小孔隙率岩層的理論曲線(В. Г. 达尔霍夫)；10, 11, 12—各相當於膠結性不好的一般的以及膠結性良好的岩層的預想曲線(В. Г. 达哈諾夫)。

上的曲綫對比一下，就可以証實這兩條曲綫之間在左面部分是有極大的分歧。這是由於用以計算岩層電阻率的模型，在孔隙率小時，是和存在於岩層內的電阻率和孔隙率之間的實際關係不相符合。各點的不能重合（或者散在）是由於在進行第一次研究時，將結構（如岩層孔隙率小，則岩層所受結構的影響就很大）不同岩層進行的量測和進行實驗不够仔細所得的結果繪在一張曲綫圖上所造成的。

如在同一類型的岩層進行研究並正確地佈置實驗工作，則各點的散在就正如莫斯科石油研究所岩層物理性質實驗室數據中所指出的一樣，會大大地減少，並且所有測點都沿一條曲綫的方向聚集起來。如圖2、3、4、5和6所示各曲綫，便是上述情況的証明，這些曲綫，是由莫斯科石油研究所岩層物理性質實驗室對於烏拉爾地區西部上古生代和下古生代地層（圖2、3和4），對於北高加索的第三紀沉積岩層（圖5和6），在和岩層層理為垂直方向（圖3和5）以及平行於岩層層理的方向（圖4和6）所進行量測的電阻率。圖3和4所示烏拉爾區西部下古生代地層各相當於和層理垂直量測的電阻率 P_{\perp} ，以及與層理平行量測的電阻率依於體積溫度 ϑ 而變動的關係曲綫，証明在這些曲綫的繪制上，是具有足夠高度的準確性，確定所得結果是以最大稠密度挨近曲綫主要方向聚集起來。

根據理論數據和實驗室多次研究的結果，可能得出這樣的結論，就是如果岩層孔隙空間完全是被地層水所飽和，則岩層電阻率和岩層所含有水的電阻率之間的關係，應當適合於以下式來表示：

$$\rho_s = B_s P_s \rho_0 = P_s \rho_0, \quad (9)$$